

提高发电机出力 的几个问题

水利电力部技术改进局等著



水利电力出版社

內 容 提 要

从去年冬季以来，许多发电厂都在千方百计地提高现有发电机的出力，以供給工农业更多的生产用电。为了交流經驗，我們選擇了几項提高出力的方法和运行經驗汇編成此书，供有关单位参考。

本书內容：

一、适当选择运行电压提高发电机出力 介绍淮南发电厂等在改变发电机运行电压后提高出力的經驗。

二、运行中测量发电机定子线卷的平均溫度。敘述对未加設測溫元件的发电机，如何加設簡單的測溫裝置以及具体操作方法等。可供設有类似电机的电厂加強溫度監視和提高出力时应用。

三、汽輪发电机开式冷却运行的一些体会。介绍广东五仙門发电厂的开式冷却发电机的运行經驗。

四、蒸汽噴射降低风溫裝置的設計，介绍冷却“冷却空气”的裝置。

五、加电瓶提高励磁机出力。北京電業管理局对由于励磁机容量不足而限制发电机出力的设备进行了試驗，証明在励磁机励磁电路中加接电后可提高发电机出力。这里介绍它的連接方法和操作等。

提高发电机出力的几个問題

水利电力部技术改进局等著

*

2138D615

水利电力出版社出版（北京西郊科学路二里内）

北京市书刊出版业营业登记证字第105号

水利电力出版社印刷厂排印

新华书店北京科技发行所发行 各地新华书店經售

*

787×1092 岁开本 * 3張印張 * 77千字

1959年9月北京第1版

1959年9月北京第1次印刷(0001—4,330册)

统一书号：15143·1714 定价(第9类)0.41元

目 录

一、适当选择运行电压

提高发电机出力淮南发电厂 倪安华 (2)

二、运行中测量发电机

静子线圈平均温度水利电力部技术改进局 (9)

三、汽轮发电机开式冷却运行

的一些体会广东省电业局五仙门发电厂 (16)

四、蒸汽喷射降低风温装置的设计水利电力部技术改进局 (27)

附录：蒸汽喷射致冷装置的设计者资料(65)

五、加电瓶提高励磁机出力

.....北京电业管理局中心试验所 (116)

一、适当选择运行电压 提高发电机出力

淮南发电厂 倪安华

适当的提高或者降低发电机的运行电压，可以挖掘设备潜力，提高发电机的出力。因为在提高发电机出力的时候，往往受到静子温度或转子温度的限制。但是，静子温度与转子温度不会同时达到极限，而是其中之一达到极限以后，就限制了发电机的出力。在这种情况下，如果我們能通过分析与試驗，改变运行电压就有可能降低静子温度或转子温度，也有可能两者都降低。如淮南发电厂由于静子温度較高，轉子溫度較低，出力受到靜子溫度的限制。在提高电压 5% 以后，出力增加了 4%。但轉子溫度約增加了 4~5°C。閩北发电厂提高电压 10% 以后，靜子温升由 60°C 降低到 56.5°C，轉子温升由 91°C 降低到 90°C。又如阜新发电厂在降低电压 5% 以后，当額定运行方式时轉子电流由 413 安降低到 389 安，因此轉子温升由 102°C 降低到 88°C。这些例子都說明了改变发电机的运行电压后，可以提高发电机的出力。

(一) 改变电压时发电机静子温升的变化

发电机静子温升与静子电流平方关系曲线，差不多是一条直线，如图1-1 中， U_{H_0} 曲线与纵座标的交点为发电机空載額定电压时的静子温升 τ_0 。其中包括两个部分：即静子温升的通风所引起的成分 τ_v ，和静子温升由于铁损所引起的成分 τ_{emo} 。在額定运行方式的时候，静子繞卷的温升

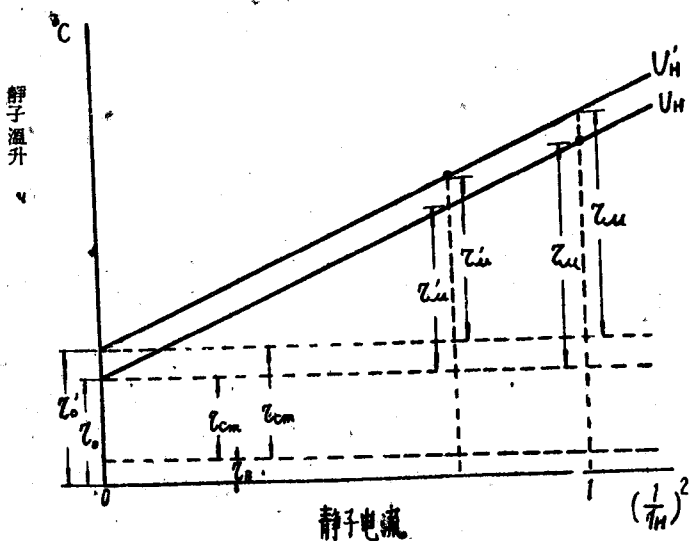


图 1-1 静子电流

$$\tau = \tau_0 + \tau_m = \tau_0 + \tau_{cm} + \tau_{sh}$$

式中 τ_{sh} —— 为额定电流 I_H 时由于静子电流铜损所引起的温升。

如果发电机的额定电压改变时(假定提高)，则静子线圈温升曲线(图中 U'_H)应该是平行与 U_H 的平行线，其与纵坐标的交点为 τ'_0 ，但此时 τ_0 并没有改变，因此，

$$\tau'_0 = \tau_0 + \tau'_{cm}$$

式中 τ'_{cm} —— 在 U'_H 时的铁损所引起的静子温升。

从图中可以看出，当同一电流不同电压时，静子线圈温升之差为

$$\tau'_0 - \tau_0 = \tau'_{cm} - \tau_{cm}$$

但

$$\tau'_{cm} = \tau_{cm} \left(\frac{U'_n}{U_n} \right)^2,$$

因此

$$\tau'_0 - \tau_0 = \tau_{cm} \left[\left(\frac{U'_n}{U_n} \right)^2 - 1 \right] \quad (1)$$

同样可以从图中看出，当同一电压不同电流时，静子线圈温升之差为 $\tau_m - \tau'_m$ 。但

$$\tau'_m = \tau_m \left(\frac{I'_n}{I_n} \right)^2,$$

因此

$$\tau_m - \tau'_m = \tau_m \left[1 - \left(\frac{I'_n}{I_n} \right)^2 \right] \quad (2)$$

在这里，我们假定发电机电压由 U_n 改变为 U'_n ，同时静子电流由 I_n 改变为 I'_n ，但是仍旧保持发电机的千伏安出力不变。即

$$U_n I_n = U'_n I'$$

则

$$\left(\frac{U'_n}{U_n} \right)^2 = \left(\frac{I_n}{I'_n} \right)^2.$$

由此可知，当改变运行方式以后，发电机静子线圈温升之差为公式(1)~(2)：

$$\Delta\tau = \tau_{cm} \left[\left(\frac{U'_n}{U_n} \right)^2 - 1 \right] - \tau_m \left[1 - \left(\frac{I'_n}{I_n} \right)^2 \right].$$

当 U'_n 与 U_n 变化不大时，则

$$\left[\left(\frac{U'_n}{U_n} \right)^2 - 1 \right] \approx \left[1 - \left(\frac{I'_n}{I_n} \right)^2 \right],$$

则

$$\Delta\tau = (\tau_{cm} - \tau_m) \left[\left(\frac{U'_n}{U_n} \right)^2 - 1 \right]. \quad (3)$$

由此可见，当提高电压以后，如果 $\tau_{cm} > \tau_m$ 时，则 $\Delta\tau$ 为正，即表示温升增加。如果 $\tau_m > \tau_{cm}$ 时，则 $\Delta\tau$ 为负，即表示温升降低。反之，如果降低发电机电压，即 $\frac{U'_n}{U_n} < 1$ 。如果 $\tau_{cm} >$

τ_m 时則 $\Delta\tau$ 為負，即表示溫升降低。如果 $\tau_m > \tau_{cm}$ 時，則 $\Delta\tau$ 為正，即表示溫升增加。因此，我們應該把發電機額定電壓時的鐵損與額定電流時的銅損作一次比較，如果銅損大于鐵損，則應該用提高電壓的方式來降低靜子溫升，如果鐵損大于銅損，則應該用降低電壓的方式來降低靜子溫升。

淮南發電機是國產4H5466/2型發電機，鐵損為24瓦，靜子銅損為47瓦，因此可以採用提高電壓的方式。當電壓提高5%時，鐵損為 $24(1.05)^2 = 26.4$ 瓦。如保持千伏安不變，則靜子電流應降低5%，則銅損為 $47(0.95)^2 = 42.5$ 瓦，所以靜子損耗由 $24 + 47 = 71$ 瓦降低為 $26.4 + 42.5 = 68.9$ 瓦。根據試驗結果， $\tau'_o - \tau_o = 2^\circ\text{C}$ ， $\Delta\tau = 4^\circ\text{C}$ 。即提高電壓以後，保持同樣的千伏安出力，靜子溫升降低 4°C 。如果保持同樣的溫升，則靜子電流允許大於 $0.95I_n$ 。根據試驗結果約可提高到 $0.99I_n$ ，則發電機千伏安出力為 $1.05 \times 0.99 = 1.04$ ，即提高4%。

一般發電機銅耗往往大於鐵損，尤其當利用設計裕度，提高出力的時候，鐵損並不因提高出力而增加，而銅損則隨提高出力而大量增加。從式(3)中很容易看出，當銅損大大超過鐵損時，而電壓有較大的提高時， $\Delta\tau$ 的值也會大量增加，因此發電機溫升大量降低，對提高出力更加有利。

(二) 改變電壓時對發電機轉子溫升的變化

考慮到發電機靜子內的發熱對轉子的溫升影響很小，轉子線卷的溫升只決定於轉子線卷的損失，因此，改變發電機靜子電壓運行時，並不會改變轉子線卷的溫升曲線。但當改變運行電壓而千伏安出力和功率因數不變時，則轉子電流會有相應的改變，由於轉子電流的改變也就改變了轉子線卷的溫升。當低於額定電壓運行時，轉子電流一般將減小。當高於額定電壓運

行时，轉子电流一般将增加。但对每台发电机而言，由于材料和工艺的差別，影响到参数的改变，其变化幅度并不一致，也可能与上述情况相反。因此，要决定采用提高电压方式，还是采用降低电压方式来达到减低轉子温升的目的，首先，應該根据发电机的空載特性曲綫和三相短路特性曲綫用作向量图的方法，来算出同一千伏安，同一功率因数，不同靜子电压时相应的轉子电流值，再根据轉子温升曲綫查出相应的轉子綫卷温升来确定。

(三)如何适当选择运行电压

根据上面分析，提高或者降低发电机的运行电压，就有可能降低靜子或者轉子的温升。那末究竟應該提高还是降低呢？應該根据每台机的特点分別决定。但在一般情况下，如果靜子溫度較高，而轉子有一定的溫度裕度，則應該提高电压运行。
如果轉子溫度較高，而靜子有一定的溫度裕度，則應該降低电压运行。因为，一般发电机都是銅損大于鐵損，当降低电压运行以后，轉子电流会相应降低。但是，为了謹慎起見，在决定提高还是降低电压以前，最好事先进行以下几方面分析工作：

1. 将发电机进行一次温升試驗，繪出靜子与轉子温升对电流平方的关系曲綫。通过試驗，再解发电机的出力究竟受靜子溫度的限制，还是受轉子溫度的限制。

2. 調查一下发电机的試驗記錄，了解发电机的各项損失，以及由于通风损失、鐵心损失、定子基本銅損分別所引起的靜子綫卷的温升。如果沒有以上的資料，或沒有办法进行試驗时，也可以从温升曲綫中大略比較一下 τ_0 及 τ_{∞} 的数值。

3. 根据发电机的空載特性曲綫及饱和特性曲綫，繪制額定千伏安、額定功率因数时，当电压为 1.0, 0.95, 1.05 頓定电

压时，找出相应的轉子电流数值，以便确定在那一种的运行方式时的轉子电流最小。

根据以上方法，决定提高电压还是降低电压以后，再决定它的变化数值。但是；变压的数值实际上是由主变压器分接头所規定，一般主变压器設有95%，97.5%，100%，102.5%，105%的分接头，因此电压的变化，也只有可能在这五个数字中决定。如果需要改变的数值大于±5%时，或者主变压器原来的分接头位置已經不能改变时，那只有改变整个系统的电压。这就需要由調度部門对整个系統或一部分系統作統一的考虑。同时，厂用电系統也需要相应的改变厂用变压器的分接头。

(四) 改变电压以后需要考虑的几个問題

1. 如果要提高发电机的运行电压，應該考慮发电机的絕緣。如果电压变化在±5%以內，这是完全允許的。但如果电压高于5%，能否长期連續运行，應該考慮发电机的对地絕緣情況、層間絕緣情況、漏磁情况、靜子的電量情況等。最好事先征求一下制造厂的意見。同时在提高电压后的試运行期間，应对发电机进行严密的監視，端部端蓋及机座有无局部发热現象。

2. 提高电压以后，应考虑主变压器主引出綫及分綫头上所加的电压的数值。因为由于变压器运行电压的提高，必将引起励磁电流的增加，由于励磁电流的增加，必将引起鐵心損失的增加。因为，一般变压器設計的額定电压均接近于飽和曲線的飽和点上，因此电压增加以后，可能鐵心損失大量增加，使鐵心产生不允許的高热。如果有条件的話最好測量一下鐵心由于升高电压后的額外溫升，或者做一次空載特性試驗來比較一下电压升高以后励磁电流增加的数值。但是，一般如果电压在5%

範圍以內变动，這是完全允許的，超過 5% 以上時，應該有周密的分析才能決定。

3.如果降低電壓運行，應該考慮發電機運行的靜態穩定度問題。由於發電機提高了出力，對於靜過載能力 S 應該重新核算

$$S = \frac{i_n}{i_k \cos \varphi}$$

式中 i_n ——額定運行方式下的轉子電流，當提高出力以後，應該是新的運行方式下的轉子電流；

i_k ——額定靜子電流時的三相穩定短路的轉子電流，當提高出力後，應該是新的靜子電流時的轉子電流；

$\cos \varphi_n$ ——額定運行方式時的轉子電流。

如果有自動電壓調整器及強行勵磁的發電機，核算上述 S ，如果大於 1.3 時，則可以不考慮靜態穩定度問題。

4.廠用電系統一般接在發電機電壓的母線上。由於發電機的變化，也同時引起了廠用電系統電壓的變化。如果廠用動力容量比較富裕的話，則當降低電壓運行時，就有可能改善它們的功率，這種情況是有利的。如果是升高電壓運行，對電動機來說，可以達到 110% 額定電壓，這樣運行對電動機提高出力也有好處的。因此，如果發電機電壓變動不大，可以不一定調整廠用電變壓器的分接頭位置。對於廠用照明來說，提高電壓以後會縮短燈泡的使用壽命。

5.有關二次回路方面也需要根據發電機的運行電壓重新考慮一些問題：

(1) 在低電壓閉鎖的過電流保護裝置中，低電壓繼電器的整定值，應該根據新的額定電壓重新整定。否則可能使過流保

护的范围发生变化；

(2)强行励磁的动作电压應該根据新的运行电压重新整定；

(3)对发电机变压器組的纵联差动保护装置，如果当主变压器分接头改换以后，應該重新考慮补偿电流的整定值，否则，会引起不平衡电流的增加。

(4)由于主变压器分接头的变动，对于单元制接綫的发电机，当准同期并列时，應該重新規定被并机电压与系統电压之差，这可以根据变压器及表用变压器的变压比进行計算。

二、运行中测量发电机

· 靜子綫卷平均溫度

水利电力部技术改进局

通过发电机全面的热試驗，准确掌握发电机运行中的溫度，有助于挖掘发电机的潛力，使我們能有把握的掌握发电机超出力运行。发电机靜子綫卷的溫度通常是用埋在槽內上下层綫棒之間或綫棒与鐵心之間(对单层綫組而言)的檢溫計(电阻測溫元件或热偶)进行测量。某发电厂的三号机上沒有这种测量装置，后来他們曾在靜子綫卷、鐵心、压环等各处埋置了电阻測溫元件和热偶，由于埋放不恰当，测出的溫度与出风溫度相近，不能作为掌握发电机运行的可靠根据。此次試驗中，采用了运行中测量靜子綫卷平均溫度的办法，这种測溫办法用于缺乏檢溫計或檢溫計不准确的旧发电机上，能够比較准确的了解导线銅溫，掌握发电机的运行。

(一) 测量接线图

测量的线路图见图2-1。在运行中测量出发电机静子绕组的直流电阻，然后根据电阻，随温度变化的关系计算出导线的铜温。

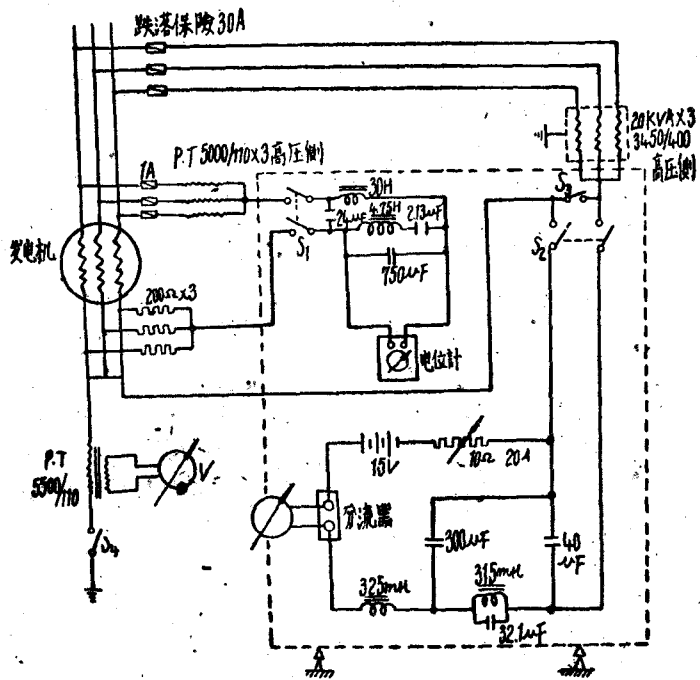


图 2-1 带负荷测量静子绕组平均温度接线图

整个线路分为两个部分，一部分是在静子绕组中通入直流电，并测量绕组通过的直流电流的电流回路；一是测量静子绕组直流压降的电压回路。

电流回路可以从发电机出线母线上接下来，经过跌落保险和隔离交流变压用的电抗器（以三台20千伏安单相变压器高压侧接成Y形组成，低压侧开路），经过刀闸 S_2 的一刀串入电流表，蓄电池和调节电流用的10欧可变电阻，再由刀闸 S_2 的另一刀接到发电机中性点去。在这回路中还有一套交流过滤的接线（图中的电感、电容），滤去电流回路内的交流使它不流过电流表。

电压回路和电流回路的接法一样，为了使测量准确，电压回路的接线应该从发电机静子绕组的出线端接出来。经过一组接成Y型的P.T，再经刀闸 S_1 的一刀串入电位计，由 S_1 的另一刀和接成Y型的三个200欧电阻，分别接上发电机中性点侧的三个出线端。这三个200欧的电阻是为了避免直接短接发电机中性点侧差动保护C.T用的，在这回路内，也有一套交流滤过接线（图中的电感、电容），滤去回路内的交流，使它不经过电位计。使用电位计可以直接读出静子绕组直流压降的毫伏数，若用微安表来测量，则必须选用比较精确的微安表，并应连同整个电压回路的接线事先进行校准。

发电机的中性点经过一P.T接地，其次级接一电压表作为监视发电机单相接地用。刀闸 S_3 用来使变压器的中性点与发电机的中性点短接（不进行测量时），以避免两中性点间产生的高压。

测量时合上刀闸 S_1 、 S_3 ，拉开刀闸 S_2 ，调节电流回路内的10欧姆可变电阻，使电流达3安左右，同时读取电流表与电位计的数值，算出发电机静子绕组的直流电阻，然后按公式

$$\frac{235+t_0}{235+t} = \frac{R_0}{R} \text{, 计算出绕组的平均温度。}$$

(二) 测量回路內各元件

电流和电压回路內的交流过滤装置，是整个接綫中很重要的部分。刀閘 S_1 ， S_2 后面都各有一組电容量較大的容器（图中电流回路为40微法，电压回路为24微法），通过它首先把两中性点間的交流电压降至最低，这是过滤中起主要作用的。电容愈大，阻抗愈小，两中性点間的电压也愈低。在电压回路中，不加这24微法的电容时；两中性点間的电压为60伏，加上这电容以后，电压降到几乎等于零（这都是指合上 S_1 时的情况，在断开 S_1 时，两中性点未接任何阻抗，此时电压很高，甚至高达1000伏以上）。这一点交流电压是容易被以后的过滤装置所滤掉的。当 S_1 合閘的瞬間，这一組电容器要承受一个冲击的高电压，所以必須选用耐压較高的交流电容器，如工作电压为400伏的油浸紙介质电容器或日光灯电容器（电流回路的情况也一样）。除了这一組电容而外，在电流回路內的交流过滤裝置是由一个接成并联共振的高阻抗，一个电感綫圈和一个300微法的旁路电容器所組成。并联共振高阻抗中的电容，也应用耐压較高的电容器，300微法的旁路电容可以用电容量大的电解质电容器（一般直流工作电压为25~50伏，50微法以上）。两个电感綫圈的选择应使其导綫能通过2安培的电流，同时又要求阻抗較大，这两个电感可以用2或3个五灯收音机电源变压器一次綫卷并联。电压回路內的滤过裝置是由一个阻抗大的电感綫圈（图中为30亨），一个接成串联共振的低阻抗和一組电容很大的电容所組成。

电压回路內隔离交流高压用的一組 P.T 应該选择其交流阻抗大而直流电阻小的 P.T。这样既能很好的隔离交流高压，又不会严重的影响电位計的灵敏度。假若用一組直流电阻小交

流阻抗也小的变压器則必須把 S_1 以后的电容器加得很大。此外，减小发电机中性点出綫端上所接的三个电阻，也可提高灵敏度，这电阻可减小到每相几欧。

全套測量設備和接綫都必須对地絕緣，試驗人員站在絕緣台上操作和測量。发电机中性点 P.T 次級所接的監視发电机系統单相接地的电压表，放在容易監視的地方。一旦發現有单相接地时立即停止試驗。

測量中所加直流电流不宜太大，也不宜太小。太小則发电机繞組直流压降小，表計不易測准，如太大，則可能引起电池的过度放电，在測量过程中不易使电流稳定。我們在試驗中直流加到 3 安左右。

(三)測量的准确度及誤差

試驗中，我們对測量的准确度及誤差进行了分析。最初考慮同时用双电桥和这一綫路进行比較。由于双电桥必須在比較大的电流的情况下測量才准确(10安以上)，一时又未找到这样大的直流电源，因此我們用另外的办法来进行比較。我們用一个 0.001 欧的标准电阻代替发电机繞卷作为被試品 (75°C 发电机繞卷直流电阻三相并联为 0.00405 欧)，用这一套設備和接綫来測量它的电阻，得出如下的数值

电流(安)	1.79	1.13	1.83	1.22
电压降(毫伏)	1.8	1.13	1.83	1.21
計算电阻(欧)	0.001006	0.001	0.001	0.000992
誤差	0.6%	0	0	0.8%

由此可見，測量誤差在 1 % 以下。

实际上，測量运行中发电机繞卷的直流电阻，和測量这标准电阻的情况不一样。运行中发电机的电流电压并不絕對稳

定，它的每一变动都将引起测量线路中的电感电容回路的一个瞬变过程，这是不能避免的。因此，在实际测量中使误差增大。我們在发电机温升已经达到稳定时，連續測量五次，取其平均數，測量情況如下：

名 称	1	2	3	4	5	平 均
电流(安)	10.72	10.2	9.71	8.68	7.95	
电压(毫伏)	2.79	2.62	2.49	2.24	2.04	
电阻(欧)	0.003842	0.003893	0.00389	0.003875	0.00389	0.003881
溫度($^{\circ}$ C)	62	65.5	66.2	64.5	66.2	64.5

从上面数据可以看出，連續數次測量出来的电阻数值，其差异在有效数字的第三位，由此而使推算出的温度的誤差（平均数与最大、最小之差）在 3°C 以下，这已經是比較令人滿意的了。

还必須提出換算公式的基本电阻(R_0)問題。由于基准电阻不准，換算所引起的誤差可能比測量本身的誤差还大。这基本电阻應該是在发电机冷状态下各部温度已經均衡且和室温相近(不超过 $\pm 3^{\circ}\text{C}$)时，利用本測量线路测出的发电机繞卷直流电阻值作为基准。这需要停机相当长的时间(往往要几天)以后才能办到。这次試驗中，由于停机时间有限，我們不能得到这样情况下的基准电阻值。但由于測量标准电阻时，其誤差很小，所以就以原来用双电桥所测得的发电机冷状态下的直流电阻作为基准电阻。不过，最好还是进行一次上述的測量則更加完滿。

还必須注意的是：开始进行測量合上刀閘 S_1 , S_2 以后，測量回路內的电容有一个充电过程，这些电容都比較大，所以

充电过程的时间很长，在调节电阻回路内的可变电阻改变电流大小时也有此现象，因此必须在这些操作以后等两三分钟再行测量，否则将得出错误的结果。

(四) 实际测量数据

应用这一方法在某发电厂三号发电机上作了热试验。发电机额定容量6,250千伏安，5,000匝，电压5,700/5,250伏，电流634安，功率0.8，周波50，转速3,000转/分，英国MV厂出品，1924年安装。励磁机没有铭牌，厂里规定额定电压110伏额定电流210安。在5,000匝及6,500匝负载下，测量了发电机的温度，数据如下：

负载5,000匝，静子电压5.5千伏，静子电流574安，功率0.9，测出静子线圈电阻0.003881欧，平均温度为64.5°C。励磁电压93伏，励磁电流207安，转子电阻0.45欧，转子温度为62.5°C。发电机入口风温18.5°C，出口风温43°C。

负载6,500匝，静子电压5.65千伏，静子电流734安（电流过载15%），功率0.9。测出静子线圈电阻0.004171欧，平均温度为87°C。励磁电压111伏，励磁电流231安，转子电阻0.4827欧，转子温度为84°C。发电机入口风温22.5°C，出口风温50.5°C。

从试验结果看来，在5,000匝负载时，静子平均温升46°C，转子温升44°C。在6,500匝负载时，静子平均温升64.5°C，转子温升61.5°C。这样低的温升，最初曾经引起我们的怀疑，后来对测量准确度及误差进行了多次的试验验证，又对历来运行情况进行了分析研究，并测定了发电机的风量为1,000公尺³/分，另一发电厂20,000匝容量的十号机其风量为1,400公尺³/分，这说明本机风量是比较大的，最后肯定这台发电机，在温升方